

НАПРЯЖЁННО-ДЕФОРМИРОВАННОЕ СОСТОЯНИЕ КРУГОВЫХ ЗУБЬЕВ

Ви́ршено задачу теорії пружності про плоско – деформований стан кругових зубів передач із проміжними тілами катиння.

The flat problem of the theory of elasticity is solved is intense - the deformed condition of a teeth of a circular structure.

Тенденция роста нагрузок, быстроходности, долговечности, снижения массы передач, повышает значимость задачи о прочности зубьев, требует глубокого и достоверного изучения распределения напряжений. Местные напряжения, возникающие в зубе при изгибе, можно определить численным методом или экспериментально [1]. В работе [2] показано, что основными видами деформации зуба у основания является не только изгиб, но и сдвиг, торсионный изгиб и смещение, что не отражается в расчётных методиках.

Основными задачами данного исследования являются: разработка расчётной модели с оптимальной аппроксимацией зуба; вывод уравнений упругости плоскодеформированного состояния зуба в биполярных координатах. Распределение нагрузки по контуру поперечного сечения определяется из решения контактной задачи и аппроксимируется параболой, на основе чего решается граничная задача прочностного расчета зуба. Параметрами определяющими внешнюю нагрузку являются максимальное давление P_0 и протяженность дуги контакта по контуру зуба в его поперечном сечении.

Выделим из массива зуб цилиндрической поверхностью радиуса R' (рис. 1). Сечение зуба ограничено замкнутым контуром, образованным дугами окружностей боковых поверхностей с радиусом r_1 и радиусом R_1 очерчивающим окружность вершин. Зададим радиус R_1^* центров образующих окружностей, число зубьев z_1 сателлита и определим угловые шаги λ_1 . Радиусы окружностей R' получаются геометрическим построением. Взаимодействие зуба с массивом рассматриваем как заделку [3].

Граничную задачу о прочности зуба решаем в биполярных координатах, где координатными линиями являются окружности. Выберем систему координат, для которой окружности радиусов r_1 и R' будут координатными линиями, а окружности с радиусами R_1 заменим близкими к ним координатными линиями. На оси абсцисс координатной плоскости XOY симметрично относительно начала координат расположим полюсы O' и O'' , расстояние между ними равно $2a$ (рис. 2).

Из полюсов в точку плоскости XOY проведем радиусы ρ_1 и ρ_2 . Задание абсолютных величин ρ_1 и ρ_2 не определяет однозначно положение точки M на плоскости: для заданных ρ_1 и ρ_2 получаются две точки симметрично относительно оси абсцисс.

Неоднозначность устраним введя биполярные координаты α и β . За координату α примем $\alpha = \ln \frac{\rho_1}{\rho_2}$. Правой полуплоскости XOY соответствуют положительные

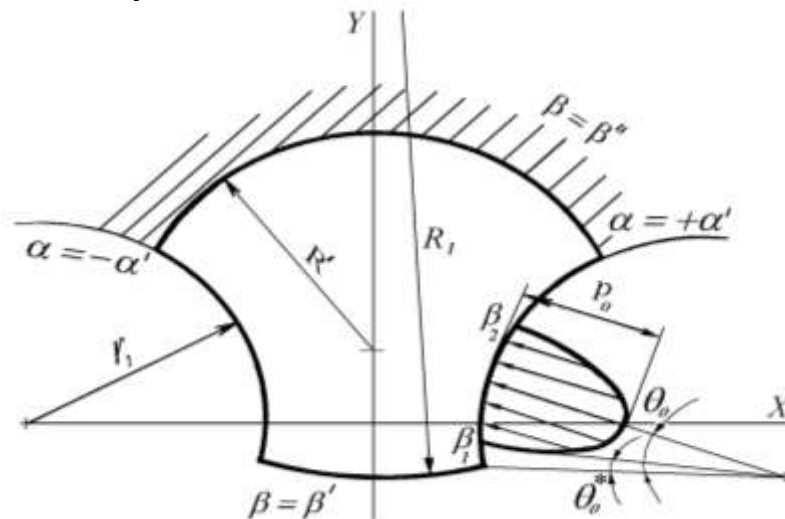


Рис. 1 Расчетная схема нагруженного зуба

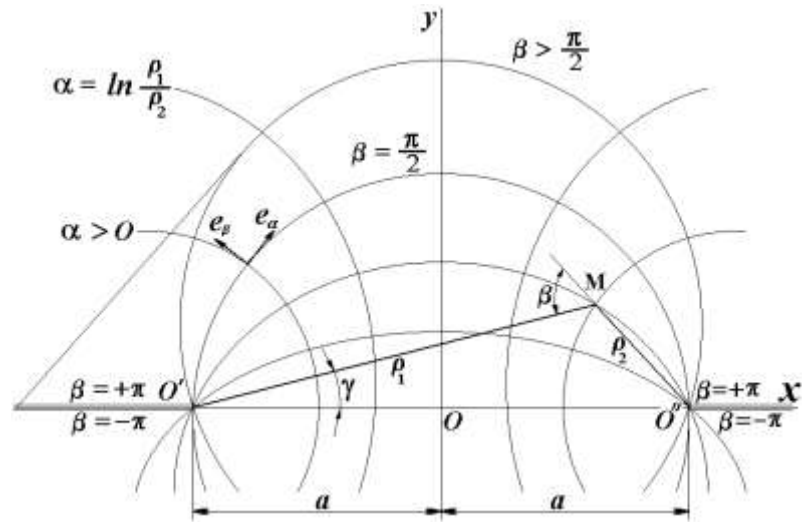


Рис. 2 Координатные линии биполярной системы координат

значения α , левой – отрицательные. Координата β - внешний угол треугольника $O'O''M$, отсчитанный от продолжения радиуса r_2 до r_1 , $|\beta| < 180^\circ$. Верхней полуплоскости соответствуют положительные значения углов β , нижней – отрицательные. Однозначность нарушается на оси абсцисс при $|X| \geq a$. Вдоль линий $Y=0$ при $X \leq -a$ и $X \geq a$ следует сделать разрезы. Верхним берегам разрезов соответствуют значения $\beta = \pi$, нижним $\beta = -\pi$. Выразим радиусы ρ_1 и ρ_2 через координаты α и β

$$\rho_1 = \rho_2 \cdot e^\alpha, \quad \rho_1 = \frac{2ae^\alpha}{\sqrt{e^{2\alpha} + 1 + 2e^\alpha \cos \beta}}, \quad \rho_2 = \frac{2a}{\sqrt{e^{2\alpha} + 1 + 2e^\alpha \cos \beta}}. \quad (1)$$

Из треугольника $O'O''M$ находим: $\rho_1 \cos \gamma = X + a$. Установим зависимость между декартовыми и биполярными координатами

$$X = \frac{a \cdot \text{Sh } \alpha}{\text{Ch } \alpha + \cos \beta}, \quad Y = \frac{a \cdot \sin \beta}{\text{Ch } \alpha + \cos \beta}. \quad (2)$$

Формулы (2) определяют уравнения координатных линий в параметрической форме, если в них поочередно полагать $\alpha = \text{const}$ или $\beta = \text{const}$. Найдём уравнения координатных линий в явной форме. Из (2): $\sin \beta = \frac{Y}{X} \text{sh } \alpha$, $\cos \beta = \frac{a}{X} \text{Sh } \alpha - \text{Ch } \alpha$.

Исключим параметр β и получим уравнение окружности

$$\left(X - a \frac{\text{Ch } \alpha}{\text{Sh } \alpha} \right)^2 + Y^2 = \frac{a^2}{\text{Sh}^2 \alpha}. \quad (3)$$

Из уравнения (3) следует, что центры окружностей $\alpha = \text{const}$ расположены на оси X , имеют координаты $\left(a \cdot \frac{\text{Ch } \alpha}{\text{Sh } \alpha}; 0 \right)$ и радиусы $R_\alpha = \frac{a}{\text{Sh } \alpha}$. Полагаем $\beta = \text{const}$, из (2) исключим α , находим: $\text{Sh } \alpha = \frac{X}{Y} \sin \beta$, $\text{Ch } \alpha = \frac{a \cdot \sin \beta}{Y} - \cos \beta$, исключаем α

$$X^2 + (Y + a \cdot \text{ctg } \beta)^2 = \frac{a^2}{\sin^2 \beta}. \quad (4)$$

Координатные линии $\beta = \text{const}$ – окружности (4) с центрами на оси Y , имеют координаты $(0; -a \text{Ctg } \beta)$ и радиусы $R_\beta = \frac{a}{\sin \beta}$.

Координатные линии проходят через полюсы биполярной системы координат. Для доказательства в уравнении (4) семейства линий надо положить $Y = 0$, получаем $X = \pm a$. Через каждую точку плоскости с координатами $(\alpha; \beta)$ проходит пара ортогональных координатных линий $\alpha = \text{const}$; $\beta = \text{const}$. Для доказательства ортогональности координатных линий, определим угловые коэффициенты касательных K_α и K_β к линиям $\alpha = \text{const}$ и $\beta = \text{const}$, в точке их пересечения

$$K_\alpha = \frac{Y'_\beta}{X'_\beta} = \frac{(1 + \text{Ch } \alpha \cdot \cos \beta)}{\text{Sh } \alpha \cdot \sin \beta}, \quad K_\beta = \frac{Y'_\alpha}{X'_\alpha} = -\frac{\sin \beta \cdot \text{Sh } a}{(1 + \text{Ch } \alpha \cdot \cos \alpha)}. \quad (5)$$

Из формул (5) следует условие ортогональности координатных линий $K_\alpha \cdot K_\beta = 1$.

Вдоль линий $\beta = const$ и $\alpha = const$ направим орты \bar{e}_α и \bar{e}_β . Связь между приращением криволинейной координаты и дифференциалом дуги координатной линии определяется коэффициентами Ляме: $dS_\alpha = H_\alpha \cdot d\alpha$, $dS_\beta = H_\beta \cdot d\beta$.

$$H_\alpha = \sqrt{(X'_\alpha)^2 + (Y'_\alpha)^2}, \quad H_\beta = \sqrt{(X'_\beta)^2 + (Y'_\beta)^2}. \quad (6)$$

Подставим в выражения (6) значения $X'_\alpha, X'_\beta, Y'_\alpha, Y'_\beta$

$$H_\alpha = H_\beta = H = \frac{a}{Ch \alpha + \cos \beta}. \quad (7)$$

В соответствии с значениями (6, 7) найдем частные производные

$$\frac{\partial \bar{e}_\alpha}{\partial \alpha} = -\frac{H}{R_\beta} \cdot \bar{e}_\beta; \quad \frac{\partial \bar{e}_\beta}{\partial \alpha} = \frac{H}{R_\beta} \cdot \bar{e}_\alpha; \quad \frac{\partial \bar{e}_\alpha}{\partial \beta} = -\frac{H}{R_\alpha} \bar{e}_\beta; \quad \frac{\partial \bar{e}_\beta}{\partial \beta} = \frac{H}{R_\alpha} \bar{e}_\alpha. \quad (8)$$

В точках O_1', O_2' пересечения этих лучей с окружностью радиуса R_1^* получим центры O_1' и O_2' образующих окружностей зубьев спутника радиуса r_1 (рис. 3).

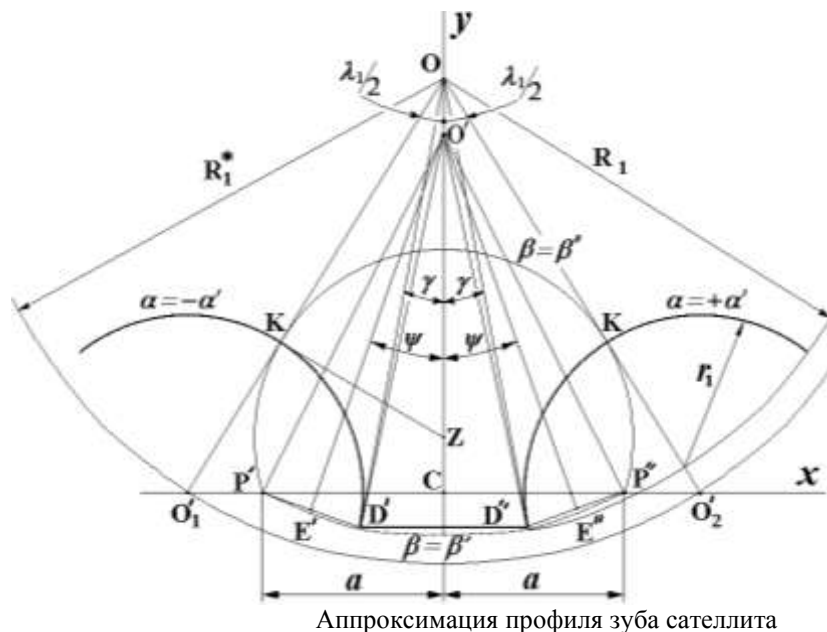


Рис. 3

Аппроксимация профиля зуба спутника

Эти окружности принимаем за координатные линии $\alpha = -\alpha'$ и $\alpha = +\alpha'$ биполярных координат. Из точки κ пересечения луча, проведенного под углом $\lambda_1/2$ из центра O образующей зуба спутника проведем касательную до пересечения с осью y в точке Z . Радиусом kz проводим в массиве дугу окружности. Находим на оси x точки p' и p'' . Если точки p' и p'' принять за полюсы, то дуга окружности радиуса $kz=r'$ будет координатной линией $\beta=\beta''$. Определим половину межполюсного

Расстояния $p'c = a$. Смещение центра окружности $\beta=\beta''$ имеющей радиус r'

$$CZ = \frac{r_1 - R_1^* \cdot \sin^2 \lambda_1 / 2}{\cos \lambda_1 / 2}, \quad R' = (R_1^* - r_1) \operatorname{tg} \lambda_1 / 2. \quad (9)$$

Запишем уравнение этой окружности

$$X^2 + \left(Y - \frac{r_1 - R_1^* \sin^2 \lambda_1 / 2}{\cos \lambda_1 / 2} \right)^2 = (R_1^* - r_1)^2 \cdot \operatorname{tg}^2 \lambda_1 / 2. \quad (10)$$

Половину межполюсного расстояния найдем полагая в уравнении (10) $y=0, x = a$

$$a = \sqrt{R_1^{*2} \sin^2 \lambda_1 / 2 - r_1^2}. \quad (11)$$

Определяем параметр координатной линии β'' , $\sin \beta'' = \frac{a}{KZ}$. Подставим значения KZ и a по формулам

(9) и (11) в полученную выше формулу

$$\beta'' = \arcsin \left(\frac{\sqrt{R_1^{*2} \cdot \sin^2 \lambda_1 / 2 - r_1^2}}{(R_1^* - r_1) \operatorname{tg} \lambda_1 / 2} \right). \quad (12)$$

Угол β' выбирается больше 90° . Для получения координатной линии $\beta = \beta'$, радиусом R_1 строим окружность. На пересечении с окружностями радиусов r_1 точки D', D'' соответствуют кромкам зуба. Отрезок PD' делим пополам и к середине восстанавливаем перпендикуляр. Точка O' пересечения перпендикуляра с осью Y является центром окружности координатной линии $\beta = \beta'$. Радиусом $R'_\beta = O'P'$ проводим окружность. Окружность β' аппроксимирует линию выступов. Определим параметр β' . Точка D' на пересечении окружностей радиусов R_1 и r_1 . Запишем уравнения этих окружностей

$$X^2 + (Y - R_1^* \cos \lambda_1 / 2)^2 = R_1^2, \quad (X - R_1^* \sin \lambda_1 / 2)^2 + Y^2 = r_1^2. \quad (13)$$

Из разности уравнений (13) определяем угол γ

$$\cos(\lambda_1 / 2 - \gamma) = \frac{R_1^2 - r_1^2 + R_1^{*2}}{2R_1 R_1^*}. \quad (14)$$

Посредством координат точки E'' и апофемы $O_1 E''$ определим угол ψ и радиус $R_{\beta'}$

$$\sin \psi = \frac{R_1 \cdot \cos \gamma - R_1^* \cos \lambda_1 / 2}{\sqrt{(R_1 \cos \gamma - R_1^* \cos \lambda_1 / 2) + (a - R_1 \cdot \sin \gamma)^2}}, \quad (15)$$

$$R_{\beta'} = \frac{1}{2 \sin \psi} \sqrt{(R_1 \sin \gamma + a)^2 + (R_1 \cos \gamma - R_1^* \cos \lambda_1 / 2)^2}. \quad (16)$$

Вычисляем параметры β' и α' : $\beta' = \arcsin\left(\frac{a}{R_{\beta'}}\right)$, $\text{Sh } \alpha' = \frac{a}{R_{\alpha'}}$, получим

$$\alpha' = \ln\left(\frac{R_1^*}{r_1} \sin \lambda_1 / 2 + \sqrt{\frac{R_1^{*2}}{r_1^2} \sin^2 \lambda_1 / 2 - 1}\right) \quad (17)$$

Уравнение координатной линии $\beta = \beta''$ центрального колеса (рис. 4)

$$X^2 + (Y - CZ)^2 = (KZ)^2. \quad (18)$$

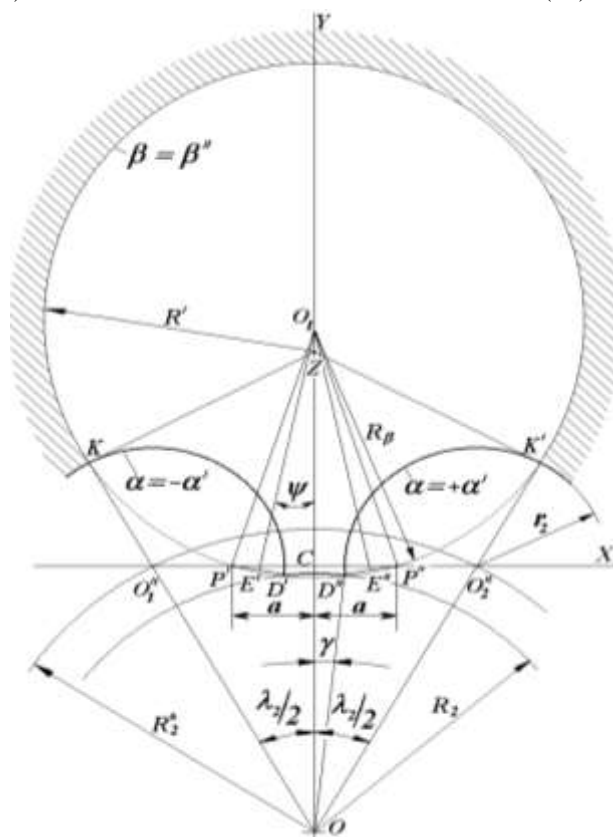


Рис. 4 Аппроксимация профиля зуба центрального колеса

Половина межполюсного расстояния a' определяется из (18) при $Y = 0$, $X = a'$

$$a' = \sqrt{R_2^{*2} \sin^2 \lambda_2 / 2 - r_2^2}. \quad (19)$$

Определяем параметры β'' и α' и угол ψ'

$$\beta'' = \arcsin \left(\frac{\sqrt{R_2^* \sin^2 \lambda_1 / 2 - r_2^2}}{(R_2^* + r_2) \operatorname{tg} \lambda_2 / 2} \right); \quad \alpha' = \ln \left[\frac{R_2^* \sin \lambda_2 / 2 + \sqrt{\left(\frac{R_2^* \sin \lambda_2 / 2}{r_2} \right)^2 - 1}}{r_2} \right]. \quad (20)$$

$$\sin \psi' = \frac{-R_2^* \cos \lambda_2 / 2 + R_2 \cos \gamma}{\sqrt{(R_2^* \cos \lambda_2 / 2 - R_2 \cos \gamma)^2 + R_2 \sin \gamma + a'}^2}. \quad (21)$$

По теореме Пифагора вычисляем радиус $R_{\beta'}$

$$R_{\beta'} = \frac{\sqrt{R_2 \sin \gamma + a'}^2 + R_2^* \cos \lambda_2 / 2 - R_2 \cos \gamma^2 + R_2 \sin \gamma^2 \cdot \sin^2 \psi'}{2 \sin \psi'}. \quad (22)$$

Плоскодеформированное состояние описывается тензором напряжений:

$$T = \bar{e}_\alpha \cdot \bar{e}_\alpha \cdot \sigma_\alpha + (\bar{e}_\alpha \cdot \bar{e}_\beta + \bar{e}_\beta \cdot \bar{e}_\alpha) \tau_{\alpha\beta} + \bar{e}_\beta \cdot \bar{e}_\beta \cdot \sigma_\beta, \quad (23)$$

где $\sigma_\alpha, \sigma_\beta$ – напряжения нормальные к координатным линиям $\alpha = \text{const}, \beta = \text{const}$; $\tau_{\alpha\beta}$ – касательные напряжения на гранях элемента, выделенного координатными линиями.

Уравнения равновесия компонентов тензора напряжений в тензорной форме

$$\nabla T = 0, \quad \nabla = \frac{1}{H} \left(\bar{e}_\alpha \frac{\partial}{\partial \alpha} + \bar{e}_\beta \frac{\partial}{\partial \beta} \right) \text{ – оператор Гамильтона. В силу ортогональности } \bar{e}_\alpha, \bar{e}_\beta$$

$$\bar{e}_\alpha \cdot \bar{e}_\alpha = \bar{e}_\beta \cdot \bar{e}_\beta = 1, \quad \bar{e}_\alpha \cdot \bar{e}_\beta = \bar{e}_\beta \cdot \bar{e}_\alpha = 0. \quad (24)$$

Запишем уравнение равновесия с учетом значений (23) и (24)

$$\begin{aligned} & \left(\bar{e}_\alpha \frac{\partial \bar{e}_\alpha}{\partial \alpha} \right) \bar{e}_\alpha \sigma_\alpha + \frac{\partial \bar{e}_\alpha}{\partial \alpha} \sigma_\alpha + \bar{e}_\alpha \frac{\partial \sigma_\alpha}{\partial \alpha} + \bar{e}_\alpha \left(\frac{\partial \bar{e}_\alpha}{\partial \alpha} \bar{e}_\beta \tau_{\alpha\beta} \right) + \frac{\partial \bar{e}_\beta}{\partial \alpha} \tau_{\alpha\beta} + \bar{e}_\beta \frac{\partial \tau_{\alpha\beta}}{\partial \alpha} + \\ & + \bar{e}_\alpha \left(\frac{\partial \bar{e}_\beta}{\partial \alpha} \bar{e}_\beta \tau_{\alpha\beta} \right) + \bar{e}_\alpha \left(\frac{\partial \bar{e}_\beta}{\partial \alpha} \bar{e}_\beta \sigma_\beta \right) + \bar{e}_\beta \left(\frac{\partial \bar{e}_\alpha}{\partial \beta} \bar{e}_\alpha \sigma_\alpha \right) + \bar{e}_\beta \left(\frac{\partial \bar{e}_\alpha}{\partial \beta} \bar{e}_\beta \tau_{\alpha\beta} \right) + \\ & + \bar{e}_\beta \left(\frac{\partial \bar{e}_\beta}{\partial \beta} \bar{e}_\alpha \tau_{\alpha\beta} \right) + \frac{\partial \bar{e}_\alpha}{\partial \beta} \tau_{\alpha\beta} + \bar{e}_\alpha \frac{\partial \tau_{\alpha\beta}}{\partial \beta} + \bar{e}_\beta \left(\frac{\partial \bar{e}_\beta}{\partial \beta} \bar{e}_\beta \sigma_\beta \right) + \frac{\partial \bar{e}_\beta}{\partial \beta} \sigma_\beta + \bar{e}_\beta \frac{\partial \sigma_\beta}{\partial \beta} = 0. \end{aligned} \quad (25)$$

Из (25) с помощью (8) получим уравнения равновесия в напряжениях

$$\frac{\partial \sigma_\alpha}{\partial \alpha} + \frac{\partial \tau_{\alpha\beta}}{\partial \beta} + \frac{H}{R_\alpha} (\sigma_\beta - \sigma_\alpha) + \frac{2H}{R_\beta} \tau_{\alpha\beta} = 0, \quad \frac{\partial \tau_{\alpha\beta}}{\partial \alpha} + \frac{\partial \sigma_\beta}{\partial \beta} + \frac{H}{R_\beta} (\sigma_\beta - \sigma_\alpha) - \frac{2H}{R_\alpha} \tau_{\alpha\beta} = 0. \quad (26)$$

Определим компоненты тензора деформации $E^* = \frac{1}{2} \nabla \bar{U} + (\nabla \bar{U})^T$,

где $\bar{U} = \bar{e}_\alpha U + \bar{e}_\beta V$ – вектор смещения; $(\nabla \bar{U})^T$ – транспонирование $\nabla \bar{U}$.

Найдем выражение $\nabla \bar{U}$ и выполним операцию транспонирования

$$\nabla \bar{U} = \bar{e}_\alpha \bar{e}_\alpha \left(\frac{1}{H} \frac{\partial U}{\partial \alpha} + \frac{V}{R_\beta} \right) + \bar{e}_\alpha \bar{e}_\beta \left(\frac{1}{H} \frac{\partial V}{\partial \alpha} - \frac{U}{R_\beta} \right) + \bar{e}_\beta \bar{e}_\alpha \left(\frac{1}{H} \frac{\partial U}{\partial \beta} + \frac{V}{R_\alpha} \right) + \bar{e}_\beta \bar{e}_\beta \left(\frac{1}{H} \frac{\partial V}{\partial \beta} - \frac{U}{R_\alpha} \right), \quad (27)$$

$$\nabla \bar{U}^T = \bar{e}_\alpha \bar{e}_\alpha \left(\frac{1}{H} \frac{\partial U}{\partial \alpha} + \frac{V}{R_\beta} \right) + \bar{e}_\alpha \bar{e}_\beta \left(\frac{1}{H} \frac{\partial U}{\partial \beta} + \frac{V}{R_\alpha} \right) + \bar{e}_\beta \bar{e}_\alpha \left(\frac{1}{H} \frac{\partial V}{\partial \alpha} - \frac{U}{R_\beta} \right) + \bar{e}_\beta \bar{e}_\beta \left(\frac{1}{H} \frac{\partial V}{\partial \beta} - \frac{U}{R_\alpha} \right). \quad (28)$$

Значения (27) и (28) подставим в выражение тензора деформации E^*

$$\begin{aligned} E^* &= \left(\frac{1}{H} \frac{\partial U}{\partial \alpha} + \frac{V}{R_\beta} \right) \bar{e}_\alpha \bar{e}_\alpha + \frac{1}{2} \left(\frac{1}{H} \left(\frac{\partial U}{\partial \beta} - \frac{\partial V}{\partial \alpha} \right) + \left(\frac{V}{R_\alpha} - \frac{U}{R_\beta} \right) \right) \bar{e}_\alpha \bar{e}_\beta + \\ &+ \frac{1}{2} \left(\frac{1}{H} \left(\frac{\partial U}{\partial \beta} + \frac{\partial V}{\partial \alpha} \right) + \left(\frac{V}{R_\alpha} - \frac{U}{R_\beta} \right) \right) \bar{e}_\beta \bar{e}_\alpha + \left(\frac{1}{H} \frac{\partial V}{\partial \beta} - \frac{U}{R_\alpha} \right) \bar{e}_\beta \bar{e}_\beta. \end{aligned} \quad (29)$$

Множители при ортах служат компонентами тензора относительной деформации:

$$\varepsilon_{\alpha\alpha} = \frac{1}{H} \frac{\partial U}{\partial \alpha} + \frac{V}{R_\beta}, \quad \varepsilon_{\beta\beta} = \frac{1}{H} \frac{\partial V}{\partial \beta} - \frac{U}{R_\alpha}, \quad \gamma_{\alpha\beta} = 2\varepsilon_{\alpha\beta} = 2\varepsilon_{\beta\alpha} = \frac{1}{H} \left(\frac{\partial U}{\partial \beta} + \frac{\partial V}{\partial \alpha} \right) + \left(\frac{V}{R_\alpha} - \frac{U}{R_\beta} \right). \quad (30)$$

Компоненты тензора напряжений для плоско-деформированного состояния выразим через компоненты тензора деформаций с помощью обобщенного закона Гука

$$\left. \begin{aligned} \sigma_\alpha &= \frac{E}{2(1+\nu)\alpha} \left[\text{Ch } \alpha + \cos \beta \left(\frac{\partial U}{\partial \alpha} + \frac{\nu}{1-\nu} \frac{\partial V}{\partial \beta} \right) + V \sin \beta - \frac{\nu}{1-\nu} U \text{Sh } \alpha \right], \\ \sigma_\beta &= \frac{E}{2(1+\nu)\alpha} \left[\text{Ch } \alpha + \cos \beta \left(\frac{\partial V}{\partial \beta} + \frac{\nu}{1-\nu} \frac{\partial U}{\partial \alpha} \right) - U \text{Sh } \alpha + \frac{\nu}{1-\nu} V \sin \beta \right], \\ \tau_{\alpha\beta} &= \frac{E}{2(1+\nu)\alpha} \left[\text{Ch } \alpha + \cos \beta \left(\frac{\partial U}{\partial \beta} + \frac{\partial V}{\partial \alpha} \right) + U \text{Sh } \alpha - V \sin \beta \right]. \end{aligned} \right\} (31) \quad (43)$$

Подставим выражения (31), (7) в уравнения упругости (26) с учётом значений:

$$\begin{aligned} \frac{H}{R_\alpha} &= \frac{\text{Sh } \alpha}{\text{Ch } \alpha + \cos \beta}, \quad \frac{H}{R_\beta} = \frac{\sin \beta}{\text{Ch } \alpha + \cos \beta}, \quad \frac{\partial \sigma_\alpha}{\partial \alpha} = \frac{E(1-\nu)}{(1+\nu)(1-2\nu)\alpha} \left[\text{Sh } \alpha \left(\frac{\partial U}{\partial \alpha} + \frac{\nu}{1-\nu} \frac{\partial V}{\partial \beta} \right) - \right. \\ &\quad \left. - \frac{\nu \text{Ch } \alpha}{1-\nu} U + \text{Ch } \alpha + \cos \beta \left(\frac{\partial^2 U}{\partial \alpha^2} + \frac{\nu}{1-\nu} \frac{\partial^2 V}{\partial \alpha \partial \beta} \right) + \frac{\partial V}{\partial \alpha} \sin \beta - \frac{\nu}{1-\nu} \frac{\partial U}{\partial \alpha} \text{Sh } \alpha \right], \\ \frac{\partial \sigma_\beta}{\partial \beta} &= \frac{E(1-\nu)}{(1+\nu)(1-2\nu)\alpha} \left[-\sin \beta \left(\frac{\partial V}{\partial \beta} + \frac{\nu}{1-\nu} \frac{\partial U}{\partial \alpha} \right) + \frac{\nu}{1-\nu} U \cos \beta + \text{Ch } \alpha + \cos \beta \right. \\ &\quad \times \left. \left(\frac{\partial^2 V}{\partial \beta^2} + \frac{\nu}{1-\nu} \frac{\partial^2 U}{\partial \alpha \partial \beta} \right) - \frac{\partial U}{\partial \beta} \text{Sh } \alpha + \frac{\nu}{1-\nu} \frac{\partial V}{\partial \beta} \sin \beta \right], \quad \frac{\partial \tau_{\alpha\beta}}{\partial \alpha} = \frac{E}{2(1+\nu)\alpha} \left[\text{Sh } \alpha \left(\frac{\partial U}{\partial \beta} + \frac{\partial V}{\partial \alpha} \right) + \right. \\ &\quad \left. + V \text{Ch } \alpha + \text{Ch } \alpha + \cos \beta \left(\frac{\partial^2 U}{\partial \alpha \partial \beta} + \frac{\partial^2 V}{\partial \alpha^2} \right) + \frac{\partial V}{\partial \alpha} \text{Ch } \alpha + \frac{\partial U}{\partial \alpha} \sin \beta \right], \quad \frac{\partial \tau_{\alpha\beta}}{\partial \beta} = \frac{E}{2(1+\nu)\alpha} \times \\ &\quad \times \left[-\sin \beta \left(\frac{\partial U}{\partial \beta} + \frac{\partial V}{\partial \alpha} \right) - U \cos \beta + \text{Ch } \alpha + \cos \beta \left(\frac{\partial^2 U}{\partial \beta^2} + \frac{\partial^2 V}{\partial \alpha \partial \beta} \right) + \frac{\partial V}{\partial \beta} \text{Sh } \alpha - \frac{\partial U}{\partial \beta} \sin \beta \right], \\ \sigma_\beta - \sigma_\alpha &= \frac{E}{(1+\nu)\alpha} \left[\text{Ch } \alpha + \cos \beta \left(\frac{\partial V}{\partial \beta} - \frac{\partial U}{\partial \alpha} \right) - U \text{Sh } \alpha - V \sin \beta \right], \end{aligned}$$

получим уравнения упругости в перемещениях:

$$\left. \begin{aligned} \frac{\partial^2 U}{\partial \alpha^2} + \frac{2}{2(1-\nu)} \frac{\partial^2 V}{\partial \alpha \partial \beta} + \frac{(1-2\nu)}{2(1-\nu)} \frac{\partial^2 U}{\partial \beta^2} + \frac{(3-4\nu) \cdot \sin \beta}{2(1-\nu)(\text{Ch } \alpha + \cos \beta)} \cdot \frac{\partial V}{\partial \alpha} + \\ + \frac{(3-4\nu) \cdot \text{Sh } \alpha}{2(1-\nu)(\text{Ch } \alpha + \cos \beta)} \frac{\partial V}{\partial \beta} - \frac{1}{(\text{Ch } \alpha + \cos \beta)} \left(\text{Ch } \alpha - \frac{(1-2\nu)}{2(1-\nu)} \cos \beta \right) U = 0, \\ \frac{(1-2\nu)}{2(1-\nu)} \frac{\partial^2 V}{\partial \alpha^2} + \frac{1}{2(1-\nu)} \frac{\partial^2 U}{\partial \alpha \partial \beta} + \frac{\partial^2 V}{\partial \beta^2} - \frac{(3-4\nu) \sin \beta}{2(1-\nu)(\text{Ch } \alpha + \cos \beta)} \frac{\partial U}{\partial \alpha} - \\ - \frac{(3-4\nu) \text{Sh } \alpha}{2(1-\nu)(\text{Ch } \alpha + \cos \beta)} \frac{\partial U}{\partial \beta} - \frac{1}{(\text{Ch } \alpha + \cos \beta)} \left(\frac{1-2\nu}{2(1-\nu)} \text{Ch } \alpha - \cos \beta \right) V = 0. \end{aligned} \right\} (32)$$

Решение системы уравнений (32) определяет напряженно – деформированное состояние зуба. Это решение должно удовлетворять граничным условиям на контуре поперечного сечения зуба. Зададим граничные условия на координатных линиях, ограничивающих профиль зуба (рис. 1). На линии $\alpha = -\alpha$ отсутствует нагрузка. Следовательно на этой линии отсутствуют напряжения $\sigma_\alpha, \tau_{\alpha\beta}$

$$\sigma_\alpha(-\alpha', \beta) = 0, \quad (\beta_1 \leq \beta \leq \beta_2); \quad \tau_{\alpha\beta}(-\alpha', \beta) = 0, \quad (\beta_1 \leq \beta \leq \beta_2). \quad (33)$$

На линии $\alpha = \alpha'$ на участке изменения координаты β от β_1 до β_2 действует контактное давление $P(\beta)$. Остальные участки $\beta' \leq \beta \leq \beta_1$ и $\beta_2 \leq \beta \leq \beta''$ свободны от нагрузки. Трением в зоне контакта пренебрегаем

$$\sigma_\alpha(\alpha^*, \beta) = \begin{cases} 0, & \beta' \leq \beta \leq \beta_1, \\ -P \text{Ch } \alpha, & \beta_1 < \beta < \beta_2, \\ 0, & \beta_2 \leq \beta \leq \beta''; \end{cases} \quad \tau_{\alpha\beta}(\alpha^*, \beta) = 0, \quad (\beta' \leq \beta \leq \beta''). \quad (34)$$

На линии $\beta = \beta'$ отсутствует нагрузка и на этой линии $\sigma_\beta = 0, \tau_{\alpha\beta} = 0$

$$\sigma_{\beta}(\alpha, \beta') = 0, \quad (-\alpha' \leq \alpha \leq \alpha'), \quad \tau_{\alpha\beta}(\alpha, \beta') = 0, \quad (-\alpha' \leq \alpha \leq \alpha'). \quad (35)$$

Граничное условие на линии контура $\beta = \beta''$ рассматриваем как заделку

$$U(\alpha_1, \beta_2) = 0, \quad (-\alpha' \leq \alpha \leq \alpha'); \quad V(\alpha_1, \beta_2) = 0, \quad (-\alpha' \leq \alpha \leq \alpha'). \quad (36)$$

Заменяя $\sigma_{\alpha}, \sigma_{\beta}, \tau_{\alpha\beta}$ по формулам (31) получим граничные условия в перемещениях:

$$\left. \begin{aligned} & \left\{ \left(\frac{\partial U}{\partial \alpha} + \frac{\nu}{1-\nu} \frac{\partial V}{\partial \beta} \right) + \frac{\sin \beta}{\operatorname{Ch} \alpha^* + \cos \beta} V - \frac{\nu}{1-\nu} \frac{\operatorname{Sh} \alpha^*}{\operatorname{Ch} \alpha^* + \cos \beta} U \right\}_{\alpha=-\alpha'} = 0, \\ & \left\{ \left(\frac{\partial U}{\partial \beta} + \frac{\partial V}{\partial \alpha} \right) - \frac{\operatorname{Sh} \alpha^*}{\operatorname{Ch} \alpha^* + \cos \beta} V - \frac{\operatorname{Sin} \beta}{\operatorname{Ch} \alpha^* + \cos \beta} U \right\}_{\alpha=-\alpha'} = 0, \\ & \left\{ \left(\frac{\partial U}{\partial \alpha} + \frac{\nu}{1-\nu} \frac{\partial V}{\partial \beta} \right) + \frac{\sin \beta}{\operatorname{Ch} \alpha^* + \cos \beta} V - \frac{\nu}{1-\nu} \frac{\operatorname{Sh} \alpha^*}{\operatorname{Ch} \alpha^* + \cos \beta} U \right\}_{\alpha=\alpha'} = \\ & = \left\{ \begin{array}{ll} 0, & \beta' \leq \beta \leq \beta_1, \\ -\frac{P\alpha(1+\nu)(1-2\nu)}{(1-\nu)E}, & \beta_1 < \beta < \beta_2, \\ 0, & \beta_2 \leq \beta \leq \beta' \end{array} \right\} \left\{ \left(\frac{\partial U}{\partial \beta} + \frac{\partial V}{\partial \alpha} \right) + \frac{\operatorname{Sh} \alpha^*}{\operatorname{Ch} \alpha^* + \cos \beta} V \right\}_{\alpha=\alpha'} = 0, \\ & \left\{ \left(\frac{\partial V}{\partial \beta} + \frac{\nu}{1-\nu} \frac{\partial U}{\partial \alpha} - \frac{\operatorname{Sh} \alpha}{\operatorname{Ch} \alpha + \cos \beta_1} U + \frac{\nu}{1-\nu} \frac{\sin \beta_1}{\operatorname{Ch} \alpha + \cos \beta_1} V \right) \right\}_{\beta=\beta'} = 0, \\ & \left\{ \left(\frac{\partial U}{\partial \beta} + \frac{\partial V}{\partial \alpha} \right) + \frac{\operatorname{Sh} \alpha}{\operatorname{Ch} \alpha + \cos \beta_1} U \right\}_{\beta=\beta'} = 0. \end{aligned} \right\} \quad (37) \quad \left\{ \frac{\sin \beta}{\operatorname{Ch} \alpha^* + \cos \beta} \right\}_{\alpha=\alpha'} = 0,$$

Уравнения упругости (32) совместно с граничными условиями (36) и (37) дают единственное решение задачи о напряженно-деформированном состоянии зуба. Для решения могут быть использованы приближенные методы.

Выполнен прочностной расчёт зуба сателлита редуктора поворота шагающего экскаватора ЭШ6,5×45: ёмкость ковша 6,5 м³, вылет стрелы 45 м. Масса редуктора 4300 кг; передаточное число $u=24$. Размеры зуба: радиус вершин $R_1=252$ мм, радиус центров образующих $R_1^*=252$ мм, радиус образующих $r_1=26$ мм, число зубьев $z_1=24$; $E=2,06$ МПа, $\nu=0,3$. При номинальной нагрузке редуктора $M_2=7 \cdot 10^4$ Нм, нормальная нагрузка на зуб составляет $N=318,8$ кН/м.

— Преобладающими являются напряжения сжатия $\sigma_{\alpha}, \sigma_{\alpha_{\max}} = 42$ МПа, они действуют вблизи зоны контакта, затухают по мере приближения к корню зуба.

— Напряжения $\sigma_{\beta}, \sigma_{\beta_{\max}} = 13,5$ МПа — аналог нормальных напряжений в теории изгиба балок, их уровень значительно ниже, определенных по элементарной теории. Это обусловлено благоприятной формой зуба с точки зрения прочностных свойств.

— Касательные напряжения $\tau_{\alpha\beta_{\max}} = 7,5$ МПа действуют в основном в зоне контакта.

Список литературы: 1. Иосилевич Г. Б., Осипова Г. В. Применение численных методов решения задач теории упругости к расчёту зубчатых передач. - Вестник машиностроения, 1976, № 4, с. 19-23. 2. Marunic Cordana. Analiza fleksibilnosti osnove zubi Celnika analisis of gear teeth base flexibility. Eng. Rev. 2000. 20. с. 45-52. 3. Стрельников В. Н. Расчёт зубьев кругового профиля на прочность // Опыт исследования, проектирования, изготовления и эксплуатации передач Новикова. Тезисы докладов Межреспубликанской научно-технической конференции - Рига: ЛРП ВНТОМ. - 1989. - С. 31 - 33.

Поступила в редакцию 10.03.05